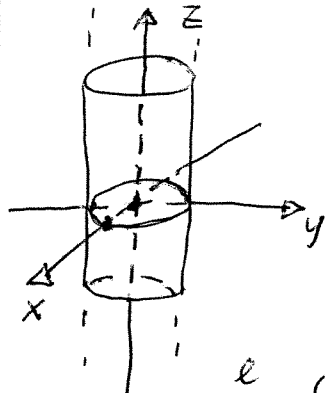


(F) Il cilindro $G = \{(x, y, z) \in \mathbb{R}^3 : x^2 + y^2 = 1\}$.



Sia $\Phi : [0, 2\pi] \times \mathbb{R} \rightarrow \mathbb{R}^3$

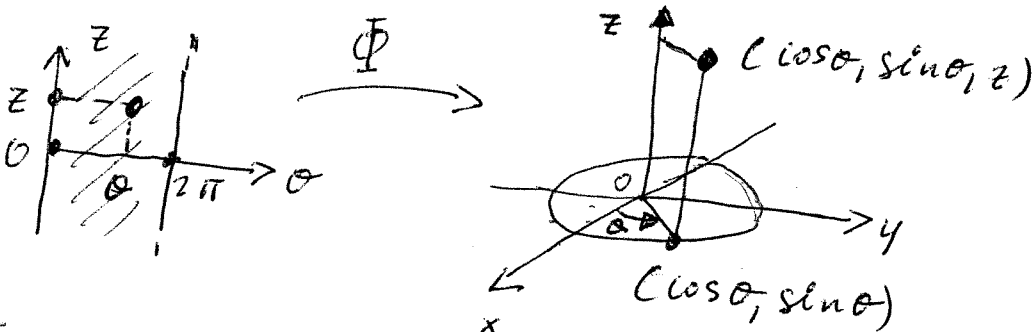
$$\Phi(\theta, z) = (\cos \theta, \sin \theta, z)$$

$\Phi \in C^1([0, 2\pi] \times \mathbb{R}, \mathbb{R}^3)$, Φ è iniettiva

$$\Phi([0, 2\pi] \times \mathbb{R}) = G \setminus \{(1, 0, z) : z \in \mathbb{R}\}$$

è il cilindro G , tali i punti di ascissa 1,

Se vogliamo includere anche quelli, occorre prendere $[0, 2\pi] \times \mathbb{R}$, che però non è aperto in \mathbb{R}^2 .



($[0, 2\pi] \times \mathbb{R}$ è una striscia senza "buchi", mentre G ha un "buco"; la parametrizzazione Φ deve per forza presentare qualche problema).

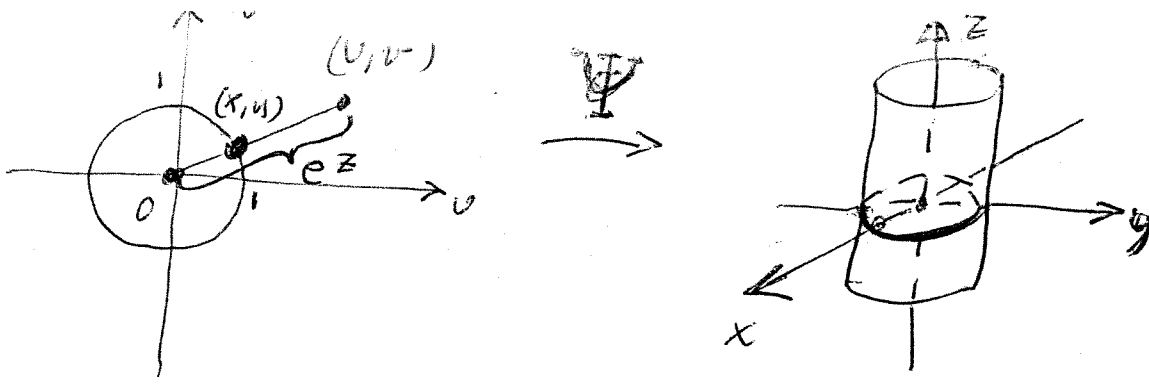
$$J\Phi(\theta, z) = \begin{pmatrix} -\sin \theta & 0 \\ \cos \theta & 0 \\ 0 & 1 \end{pmatrix} \text{ ha rango } = 2 \quad V(\theta, z).$$

Un'altra parametrizzazione. Sia $\Omega = \mathbb{R}^2 - \{(0, 0)\}$ e

$$\Psi : \Omega \rightarrow \mathbb{R}^3, \quad \Psi(u, v) = \left(\frac{v}{\sqrt{u^2 + v^2}}, \frac{u}{\sqrt{u^2 + v^2}}, \log \sqrt{u^2 + v^2} \right)$$

$\Psi \in C^1(\Omega, \mathbb{R}^3)$, $\Psi(\Omega) = G$, Ψ è iniettiva,

$$J_u \Psi(u, v) = \left(\frac{v^2}{u^2 + v^2}, \frac{-uv}{u^2 + v^2}, \frac{u}{u^2 + v^2} \right), \quad J_v \Psi(u, v) = \left(\frac{-uv}{u^2 + v^2}, \frac{v^2}{u^2 + v^2}, \frac{v}{u^2 + v^2} \right)$$



$\Psi(v, u) = (x, y, z)$: (x, y) è la proiezione rettilinea di (v, u) sulla circonferenza $x^2 + y^2 = 1$, e^z è il modulo di ~~l'angolo~~ (v, u) ($z = 0 \Leftrightarrow v^2 + u^2 = 1$).

$$J\Psi(0, v) = \begin{pmatrix} \frac{v^2}{R^3} & \frac{-uv}{R^3} \\ -\frac{uv}{R^3} & \frac{u^2}{R^3} \\ \frac{v}{R^2} & \frac{v}{R^2} \end{pmatrix} \quad \text{con } R = \sqrt{v^2 + u^2}$$

Notare che $\det \begin{pmatrix} v^2/R^3 & -uv/R^3 \\ u/R^2 & v/R^2 \end{pmatrix} = \frac{v^3 + u^2v}{R^5} = \frac{v}{R^3} = 0 \Leftrightarrow v=0$, mentre $\det \begin{pmatrix} -uv/R^3 & u^2/R^3 \\ v/R^2 & v/R^2 \end{pmatrix} = -\frac{uv^2 - v^3}{R^5} = -\frac{v}{R^3} = 0 \Leftrightarrow v=0$,

quindi che $\text{range}(J\Psi(v, u)) = \mathbb{R}^2 \quad \forall (v, u) \in \Omega$.

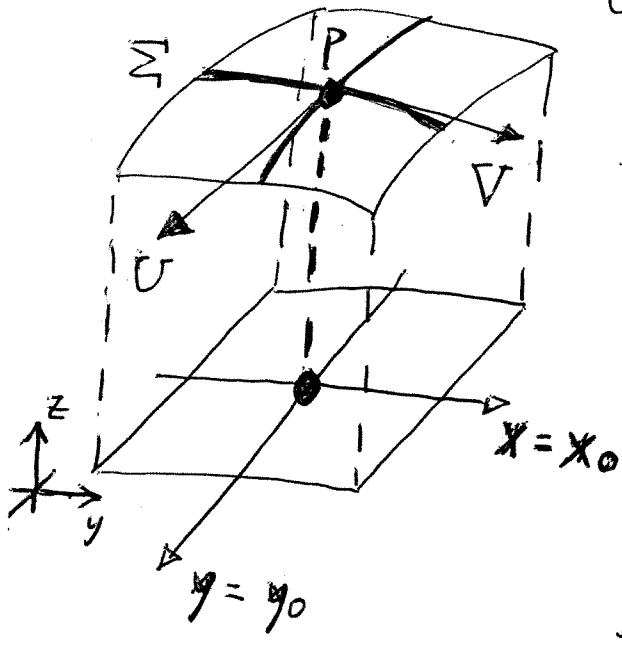
$\Psi: \Omega \rightarrow C$ parametrizza regolarmente (tutto!) il cilindro. Notare che $\Omega = \mathbb{R}^2 \setminus \{(0, 0)\}$, al punto in C , ha un "buco".

Dif. Sia $\Sigma \subseteq \mathbb{R}^3$ una superficie parametrizzata su un dominio $\Omega \subseteq \mathbb{R}^2$ e sia $\Phi: \Omega \rightarrow \mathbb{R}^3$ una sua parametrizzazione. Sia $P = \Phi(v_0, v_0) \in \Sigma$, $(v_0, v_0) \in \Omega$. Lo spazio tangente a Σ in P è lo spazio vettoriale

$$T_P \Sigma := \text{span} \left\{ \frac{\partial \Phi}{\partial v}(v_0, v_0), \frac{\partial \Phi}{\partial u}(v_0, v_0) \right\} \subseteq \mathbb{R}^3.$$

Oss. Poiché $\text{range } (\mathbf{J}\Phi(v_0, v_0)) = \mathbb{R}^2$, le colonne di $\mathbf{J}\Phi(v_0, v_0)$ sono linearmente indipendenti, quindi $\dim(T_P \Sigma) = 2$.

Oss. Se $\Sigma = \text{grafico}(f)$ e $\Phi(x, y) = (x, y, f(x, y))$,

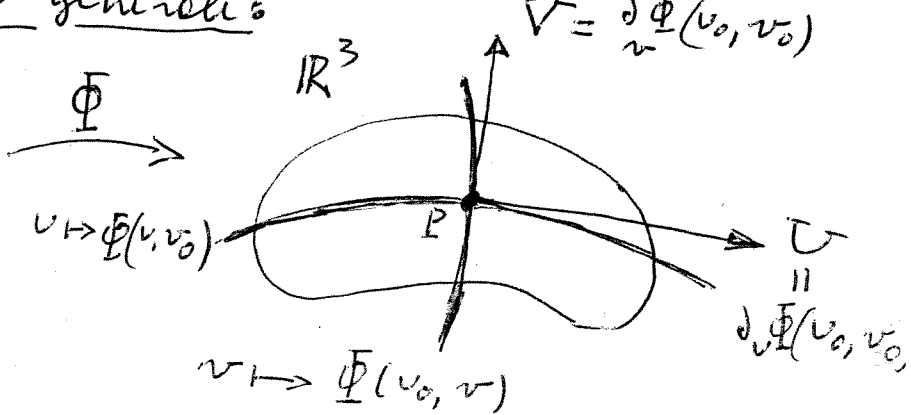
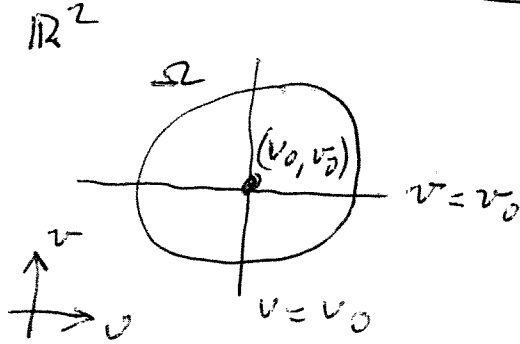


la definizione data coincide con la definizione di spazio tangente al grafico di f passante in $(x_0, y_0, f(x_0, y_0))$. Infatti:

$$U = \frac{\partial \Phi}{\partial x}(x_0, y_0) = (1, 0, \partial_x f(x_0, y_0))$$

$$\text{e } V = \frac{\partial \Phi}{\partial y}(x_0, y_0) = (0, 1, \partial_y f(x_0, y_0))$$

Una figura nel caso generale:



Consideriamo la curva $v \xrightarrow{\delta} \bar{\Phi}(v, v_0)$

$$v \xrightarrow{\delta} \bar{\Phi}(v_0, v)$$

Allora $\delta'(v_0) = \lim_{v \rightarrow v_0} \frac{\bar{\Phi}(v, v_0) - \bar{\Phi}(v_0, v_0)}{v - v_0} = \partial_v \bar{\Phi}(v_0, v_0) = \bar{t}$
 e $\delta'(v_0) = \dots = V$.

Dalle nostre definizioni sembra che la definizione di spazio tangente dipende dalle permutazioni, ma non è così.

Trovare. Siano $\bar{\Phi}_1 : \Omega_1 \rightarrow \mathbb{R}^3$ e $\bar{\Phi}_2 : \Omega_2 \rightarrow \mathbb{R}^3$

Due permutazioni uguali sulla superficie
uguale $\Sigma \subseteq \mathbb{R}^3$. Sia $\Sigma \ni P = \bar{\Phi}_1(v_0, v_0) = \bar{\Phi}_2(p_0, q_0)$.

Allora,

$$\text{Span}\left\{ \frac{\partial \bar{\Phi}_1}{\partial v}(v_0, v_0), \frac{\partial \bar{\Phi}_1}{\partial v}(v_0, v_0) \right\} = \text{Span}\left\{ \frac{\partial \bar{\Phi}_2}{\partial p}(p_0, q_0), \frac{\partial \bar{\Phi}_2}{\partial q}(p_0, q_0) \right\}$$

Dimostrazione nel caso in cui le permutazioni $\bar{\Phi}_1$ e $\bar{\Phi}_2$ siano legate da una composizione:

$$\bar{\Phi}_1 = \bar{\Phi}_2 \circ F, \text{ con } F : \Omega_1 \rightarrow \mathbb{R}^2, F \in C^2(\Omega_1, \mathbb{R}^2),$$

$$\begin{array}{c} \mathbb{R}^3 \ni \sum \\ \bar{\Phi}_1 \nearrow \quad \searrow \bar{\Phi}_2 \\ \mathbb{R}^2 \ni \Omega_1 \xrightarrow{F} \Omega_2 \subseteq \mathbb{R}^2 \end{array} \left. \begin{array}{l} \text{Finiettive, } F(\Omega_1) = \Omega_2, \\ \det(JF(v, v)) \neq 0 \quad \forall (v, v) \in \Omega_1. \end{array} \right\}$$

Usiamo il Trovare sulla Jacobiana di una inversa. Osserva che

$$\bar{\Phi}_1(v_0, v_0) = P = \bar{\Phi}_2(p_0, q_0) = F(v_0, v_0) = \bar{\Phi}_2(F(v_0, v_0)),$$

quindi (essendo $\bar{\Phi}_2$ inversa) $F(p_0, q_0) = (v_0, v_0)$.

Quindi

$$\begin{aligned} J\bar{\Phi}_1(v_0, v_0) &= J(\bar{\Phi}_2 \circ F)(v_0, v_0) = (J\bar{\Phi}_2)(F(v_0, v_0)) \circ JF(v_0, v_0) \\ &= J\bar{\Phi}_2(p_0, q_0) \circ JF(v_0, v_0) \end{aligned}$$

$$J\Phi_1(v_0, v_0) \in J\Phi_2(P_0, q_0) \in M_{3 \times 2}, \quad JF(v_0, v_0) \in M_{2 \times 2}$$

$\begin{smallmatrix} 3 \\ 2 \end{smallmatrix}$

$\begin{smallmatrix} 3 \\ 2 \end{smallmatrix}$

$\begin{smallmatrix} 2 \\ 2 \end{smallmatrix}$

Lemme (di algebra). Se $A = [\underline{a}_1 | \underline{a}_2] \in \mathbb{R}^{3 \times 2}$ e $B = [\underline{b}_1 | \underline{b}_2] \in \mathbb{R}^{3 \times 2}$ sono matrici 3×2 ($\underline{a}_1, \underline{a}_2, \underline{b}_1, \underline{b}_2 \in \mathbb{R}^3$ sono colonne) e $M = \begin{pmatrix} \alpha & \beta \\ \gamma & \delta \end{pmatrix} \in M_{2 \times 2}$, e $B = A \cdot M$,

allora ~~avendo~~ $\underline{b}_1, \underline{b}_2 \in \text{span}\{\underline{a}_1, \underline{a}_2\}$

Dim.. Scrivo $A = \begin{pmatrix} a_{11} & a_{12} \\ a_{21} & a_{22} \\ a_{31} & a_{32} \end{pmatrix}$, $B = \begin{pmatrix} b_{11} & b_{12} \\ b_{21} & b_{22} \\ b_{31} & b_{32} \end{pmatrix}$, quindi

$$\begin{pmatrix} b_{11} & b_{12} \\ b_{21} & b_{22} \\ b_{31} & b_{32} \end{pmatrix} = \begin{pmatrix} a_{11} & a_{12} \\ a_{21} & a_{22} \\ a_{31} & a_{32} \end{pmatrix} \begin{pmatrix} \alpha & \beta \\ \gamma & \delta \end{pmatrix} \Rightarrow \begin{aligned} b_{11} &= \alpha a_{11} + \gamma a_{21} \\ b_{21} &= \alpha a_{12} + \gamma a_{22} \\ b_{31} &= \alpha a_{31} + \gamma a_{32} \end{aligned}$$

a' a'è, $\begin{cases} \underline{b}_1 = \alpha \underline{a}_1 + \gamma \underline{a}_2 \text{ e con conti simili} \\ \underline{b}_2 = \beta \underline{a}_1 + \delta \underline{a}_2. \end{cases}$

Dal lemma segue che

$J_v \Phi_1(v_0, v_0), J_w \Phi_1(v_0, v_0) \in \text{span}\{J_p \Phi_2(P_0, q_0), J_q \Phi_2(P_0, q_0)\}$.

Poiché $\det(JF(v_0, v_0)) \neq 0$, ~~che per passione aveva~~

~~abbiamo~~

$$J\Phi_2(P_0, q_0) = J\Phi_1(v_0, v_0) \cdot (JF(v_0, v_0))^{-1}$$

sempr in virtù del lemma, abbiamo che

$J_p \Phi_2(P_0, q_0), J_q \Phi_2(P_0, q_0) \in \text{span}\{J_v \Phi_1(v_0, v_0), J_w \Phi_1(v_0, v_0)\}$.

Avevamo entrambi gli spazi di dimensione 2, si ha il Lemma ~~oss.~~ Gran parte degli ingegneri progettano non sulla Terra, ma su un suo spazio tangente 

Def. Un aperto Ω in \mathbb{R}^2 è un aperto regolare 12

se (i) Ω è limitato.

(ii) $\partial\Omega = \partial(\mathbb{R}^2 \setminus \bar{\Omega})$ + introduco qui le notazioni

(iii) Esistono ~~finite~~

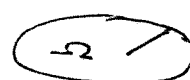
$\bar{\Omega} = \Omega \cup \partial\Omega$,
le chiusura di Ω .

in numero finito

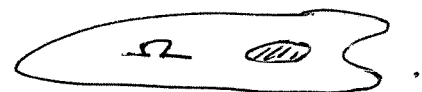
delle curve regolari $[a_i, b_i] \xrightarrow{\gamma_i} \mathbb{R}^2$, $i = 1, \dots, n$, semplici (cioè, ogni γ_i è iniettiva su $[a_i, b_i]$) tali che (iii-1) $\partial\Omega = \bigcup_{i=1}^n \gamma_i([a_i, b_i])$

$$\begin{aligned} \text{(iii-2)} \quad & \gamma \neq \gamma' \Rightarrow \gamma_i([a_i, b_i]) \cap \gamma_j([a_j, b_j]) \\ & \subseteq \{\gamma_i(a_i), \gamma_i(b_i)\} \cap \{\gamma_j(a_j), \gamma_j(b_j)\} \end{aligned}$$

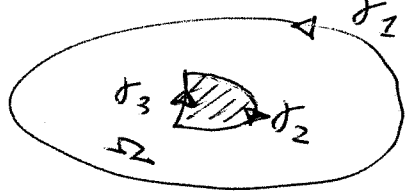
Note. La condizione (ii) esclude aperti del tipo



e permette aperti del tipo



La condizione (iii) assicura che il bordo, eccettuati al più alcuni spigoli, è liscio:



(iii-2) esclude che due curve s'incontrino così:



Si possono incontrare così:

o così

